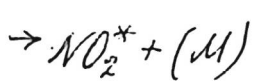


1968-69



Lorenzen 12676

1968



Becker K. H., et al.

ref. masb. 1968, 72

Pellmann,

pears. No, ~~etc~~ p. 157 - 158

Determination of the rate  
constant of  fast reaction  
from the ...

XII - 81

1968

№  
2

кв.-мех.  
касса

13 Б71. Электронная структура и электронный спектр двуокиси азота. Изучение неэмпирическим методом самосогласованного поля. *Burgpelle L., May A. M., Gangi R. A.* Electronic structure and electronic spectrum of nitrogen dioxide: study by the nonempirical self-consistent field method. «J. Chem. Phys.», 1968, 49, № 2, 561—569 (англ.)

Неэмпирический метод самосогласованного поля применен к основному состоянию и к серии возбужденных состояний двуокиси азота, при использовании как основы гауссовых функций, сосредоточенных на разных атомах молекулы. Кривые потенциальной энергии получены путем изменения угла связи. Найдено, что пять перехо-

Х · 1969 · 13

дов попадают в дальнюю ИК-область, что объясняет сложность спектра. Из корреляции между электронными состояниями изогнутой молекулы и состояниями линейной молекулы сделана попытка получить информацию, относящуюся к потенциальной энергии поверхностей системы  $\text{NO}+\text{O}$ . Полученная диаграмма потенциальной энергии обсуждена в свете механизма фотолиза соединения и аномально большого времени жизни первого дублетного возбужденного состояния, возникающего при затухании флуоресценции.

Н. Кузьменко

NO<sub>2</sub>

и. и.  
специф  
структура  
(расчет)

4 Д153. Электронная структура и электронный спектр  
двуокиси азота: изучение неэмпирическим методом само-  
согласованного поля. Burgnolle L., May A. M.

1968

Gangi R. A. Electronic structure and electronic spectrum  
of nitrogen dioxide: study by the nonempirical self-consis-  
tent field method. «J. Chem. Phys.», 1968, 49, № 2,  
561—569 (англ.)

Основное и ряд возбужденных состояний молекулы  
NO<sub>2</sub> рассмотрены неэмпирич. методом с самосогласова-  
нием, предложенным Маквини, при использовании в ка-  
честве базисной совокупности гауссовых ф-ций, центри-  
рованных на различных атомах молекулы. Для расчетов  
равновесной конфигурации основного состояния был ис-  
пользован базис из 48 ф-ций, при расчетах потенц. кри-  
вых базис содержал 33 ф-ции. Получены потенц. кривые  
основного и возбужденного состояний в зависимости от  
угла связи. Расчетное значение равновесного угла связи  
 $\alpha$  для основного состояния хорошо согласуется с экспе-  
рим. значением. Табулированы параметры экспонент,

φ : 1969

НЯ

энергии возбуждений из основного состояния при равновесном  $\alpha = 134,25^\circ$ , полные энергии атомов N и O и равновесные  $\alpha$  для различных рассмотренных состояний. Отмечено, что верхние возбужденные состояния рассмотрены с малой точностью, однако относительные положения первых пяти возбужденных состояний получены достаточно определенно. Найдено, что пять переходов попадают в область длинноволни спектра, чем и объясняется сложность этого спектра. Делается попытка получить данные относительно потенц. поверхности для системы NO+O на основе корреляции между электронными состояниями изогнутой и линейной молекул. Полученные диаграммы потенц. энергии обсуждаются в связи с двумя проблемами: механизмом фотолиза и аномально большим временем жизни первого дублетного возбужденного состояния, что следует из данных по флуоресценции. Как следует из рассмотрения, основное, а также возбужденные состояния  $^2B_1$ ,  $^4B_2$  и  $^4A_2$  диссоциируют на  $NO(^2\Pi) + O(^3P)$ . Состояния  $^2B_2$  и  $^2A_2$  диссоциируют на  $NO(^2\Pi) + O(^1D)$ .

А. Медвичский

No. 9

Chloro

81916c Electronic structure and electronic spectrum of nitrogen dioxide: study by the nonempirical self-consistent field method. Burnelle, L.; May, A. M.; Gangi, R. A. (New York Univ., New York, N.Y.). *J. Chem. Phys.* 1968, 49(2), 561-9 (Eng). The nonempirical self-consistent field method, in its form devised by McWeeny, has been applied to the ground state and to a series of excited states of NO<sub>2</sub>, by using as basis functions Gaussians centered on the various atoms of the mol. Potential-energy curves have been obtained by varying the bond angle; the resulting equil. bond angle for the ground state compares favorably well with the exptl. value. Five transitions fall into the range covered by the long-wavelength spectrum, which explains the complexity of the latter. From the correlations between the electronic states of the bent mol. and those of the linear system, an attempt is made to obtain indications concerning the potential-energy surfaces of the NO + O system. Finally, the significance of the potential-energy diagram obtained is discussed in relation with two problems: the mechanism of the photolysis of the compd., and the anomalously long radiative lifetime of its first doublet excited state resulting from fluorescence decay.

RCJQ

C.I.A. 1988. 69. 20

NO<sub>2</sub>

XIII - 82

1968

109980y Quantum-mechanical calculations on the NO + O reaction. Burnelle, Louis (New York Univ., New York, N.Y.). U.S. Clearinghouse Fed. Sci. Tech. Inform., 1968, AD-667516, 43 pp. (Eng). Avail. CFSTI. From U.S. Govt. Res. Develop. Rep. 1968, 68(11), 53. In order to analyze the mechanisms involved in the NO-at. O reaction, the potential energy surfaces assocd. with the various electronic states of the NO + O system have been investigated. In a first approach, the extended Hueckel method was applied to NO<sub>2</sub> and its ions for a series of bond angles. This provided a reasonable description of the electronic structure of the ground state of the species. At a later stage the nonempirical self-consistent-field method was applied to the ground state and to a series of excited states of NO<sub>2</sub>. Potential energy curves were obtained as a function of the bond angle. From the correlations between the electronic states of the bent mol. and those of the linear system, qual. indications were then obtained concerning the potential energy surfaces of the NO + O system.

TCVL

C.A.1968.69.26

1968

№<sub>2</sub>

Dibeler V.H.,  
Walter Y.A.

georgiokce-  
загус.  
D<sub>9</sub>

Advances Mass-Spect  
rom. Vol. 4, London;  
1968, 767.



(Cer. D<sub>9</sub>) III

1968

NO<sub>2</sub>Freeman D. S.J. Mol. Spectrosc., 24 (1-4), 27-43

Determination of molecular  
vibrational force constants  
from kinematically defined  
normal coordinates.

(cell. H<sub>2</sub>O) III

XIII-222

1968

NO<sub>2</sub>

алл.  
стрий.

1/2

21 Б25. Исследование основного и возбужденного состояний  $\text{NO}_2$  методом ССП. Fink William H. SCF determination of the ground and excited states of  $\text{NO}_2$ . «J. Chem. Phys.», 1968, 49, № 11, 5054—5060 (англ.)

Методом эквивалентных ограничений и ограничений по симметрии (вариант метода Хартри—Фока для состояний с открытыми оболочками) получены ЛКАО—МО—ССП волновые функции основного и пяти возбужденных состояний  $\text{NO}_2$  при пяти различных значениях угла ONO. Оделаны выводы об отнесении молек. электронных конфигураций ряда спектроскопич. состояний. Показано, что поправки на корреляц. эффекты не имеют принципиального значения при интерпретации наблюдаемого спектра. Для основного состояния получено значение равновесного угла  $\text{ONO}=137^\circ$  (экспериментально найдено  $134^\circ$ ). Обсуждается влияние электронного возбуждения на характер равновесной геометрич. конфигурации  $\text{NO}_2$ .

В. А. Сипачев

X. 1969. 21

XIII-222  
No 2

1968

9 Д79. Исследование основного и возбужденных состояний  $\text{NO}_2$  методом самосогласованного поля. Fink William H. SCF determination of the ground and excited states of  $\text{NO}_2$ . «J. Chem. Phys.», 1968, 49, № 11, 5054—5060 (англ.)

(составлено)  
Неэмпирическим методом самосогласованных MO ЛКАО исследовано электронное строение  $\text{NO}_2$  в основном и 5 возбужденных состояниях для 5 значений валентного угла ONO. Расчет потенциалов ионизации, анализ заселенностей по Малликену и корреляционные диаграммы позволили частично интерпретировать спектр  $\text{NO}_2$ . Показано, что корреляционные поправки к энергии являются малыми. Обсуждено изменение геометрии молекулы при возбуждениях.

В. Л. Лебедев

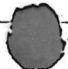
Ф. 1969. 98

N<sub>2</sub>

домогаю-  
щееся

Lenzi M., Okabe H. | 1968  
Ber. Bunsenges. phys.  
Chem., 72, N<sub>2</sub>, 168

Ромоуискоусажие NOCl  
и N<sub>2</sub> в вакуумной  
гравитационной  
области.



(cell. NOCl) III

1968

2 Б100. Первый потенциал ионизации двуокиси азота.  
Natalis P., Collin J. E. The first ionization potential  
of nitrogen dioxide. «Chem. Phys. Letters», 1968, 2, № 2,  
79—82 (англ.)

Исследован фотоэлектронный спектр молекулы  $\text{NO}_2$ .  
В качестве источника фотонов использованы разряды в  
He (584 Å), Ne (736—744 Å) и Ar (1048—1067 Å). Опре-  
делены критич. потенциалы  $\text{NO}_2$ , из которых найден 1-й  
потенциал ионизации  $\text{NO}_2$  8,8 эв. Максимумы на кривой  
ионизации интерпретированы возбуждением колебатель-  
ных уровней основного электронного состояния иона  
 $\text{NO}_2^+$ . Отсутствие структуры кривой в диапазоне 8,8—  
9,3 эв приписано низким значениям факторов Франка —  
Кондона для уровней  $v'=0:1$ . Для частоты колебания  
 $\text{NO}_2^+$  найдено значение  $2016 \text{ см}^{-1}$ , на  $400 \text{ см}^{-1}$  превыша-  
ющее частоту антисимм. вал. кол.  $\text{NO}_2$ . Эта частота мо-  
жет быть отнесена как антисимм. вал. кол.  $\text{NO}_2^+$ , так и  
комбинационному тону  $v_1 + v_2$ .

М. Р. Алиев

г. 1969. 2

18

No. 2 (4)

89-XIII-455

1968

09823n First ionization potential of nitrogen dioxide. Nata-  
lis, P.; Collin, J. E. (Univ. Liège, Liege, Belg.). *Chem. Phys.*  
*Lett.* 1968, 2(2), 79-82 (Eng). Because of widely different re-  
ported ionization potentials for NO<sub>2</sub>, photoelectron measure-  
ments were made by using a high sensitivity detecting technique  
and a cylindrical single-grid cell described by P. Marmet, *et al.*  
(1968). Resonance discharges used as photon sources were:  
He 584 A., Ne 736-744 A., and Ar 1048-1067 A. Crit. potentials  
of NO<sub>2</sub> are tabulated: 9.29, 9.33-9.76, and 9.34 ev. with He,  
Ne, and Ar photon sources, resp. The 1st ionization potential  
is 8.8 ev. Vibrational structure was observed. The measured  
2016-cm.<sup>-1</sup> ionic frequency (which corresponds to  $\nu_3$  or  $\nu_1 + \nu_2$ ) is

indicative of the ionization of an antibonding electron. 26 refer-  
ences.

FBJN

CIA 1968-69-18

12 Д168. Определение молекулярных постоянных двуокиси ~~азота~~<sup>азота</sup> из спектра в близкой ИК-области.  
Olman M. D., Hause C. D. Molecular constants of ni-  
trogen dioxide from the near infrared spectrum. «J. Molec.  
Spectrosc.», 1968, 26, № 2, 241—253 (англ.)

1968

No 2

(черт.)

Исследованы колебательно-вращательные спектры  $N^{14}O_2$  и  $N^{15}O_2$ . Выполнен анализ полос (1, 0, 1), (2, 0, 1) и (0, 0, 3) с учетом центробежных поправок 2-го и 4-го порядков. При помощи комбинационных разностей определены значения вращательных и центробежных постоянных основного и возбужденных колебательных состояний и значения ряда постоянных колебательно-вращательного взаимодействия. Обнаружено удвоение большинства колебательно-вращательных уровней, обусловленное спин-вращательным взаимодействием. Идентифицировано около 50 дублетов полосы (2, 0, 1) и определены эффективные значения постоянной спин-вращательного взаимодействия для основного состояния и для возбужденного состояния (2, 0, 1).

М. Р. Алиев

• 1968 • 129

*No<sub>2</sub>*

14304p Molecular constants of nitrogen dioxide from the near infrared spectrum. Olman, M. D.; Hause, C. D. (Michigan State Univ., East Lansing, Mich.). *J. Mol. Spectrosc.* 1968, 26(2), 241-53 (Eng). High resoln. spectra of the (1, 0, 1), (2, 0, 1), (0, 0, 3), and (1, 0, 3) bands of  $^{14}\text{NO}_2$  and  $^{15}\text{NO}_2$  were obtained. An anal. of the combined ground state combination differences and reported microwave transition frequencies has led to improve values of the rotational and centrifugal distortion consts. for the ground state of each mol., including empirical  $P^6$  terms. The (1, 0, 1) and (2, 0, 1) bands of each mol. were analyzed to give improved values for the band origins and upper state rotational consts. From the rotational consts. detd. here it has been possible to calc. the rotational consts. for the (0, 0, 3) and (1, 0, 3) vibrational states. A predicted spectrum calcd. by using these values has led to the identification of the Q-branch transitions observed in the (0, 0, 3) regions as the  ${}^0Q_K$ - ( $N$ ) transitions of the (0, 0, 3) band, and not the Q-branches of a type-B band as had been reported previously. Measurement of the observed spin-splittings in the (2, 0, 1) bands has led to a detn. of the effective spin-rotation coupling consts. for the (2, 0, 1) vibrational levels.

RCKP

C.A. 1988 69 4

№9

спектр

и.и.

7

Х. 1969. 3

3 Б209. Определение молекулярных постоянных двуокиси азота из спектра в ближней инфракрасной области. Olman M. D., Hause C. D. Molecular constants of nitrogen dioxide from the near infrared spectrum. «J. Molec. Spectrosc.», 1968, 26, № 2, 241—253 (англ.)

Исследованы колебательно-вращательные спектры  $\text{N}^{14}\text{O}_2$  и  $\text{N}^{15}\text{O}_2$ . Выполнен анализ полос (1, 0, 1), (2, 0, 1) и (0, 0, 3) с учетом центробежных поправок второго и четвертого порядков. При помощи комбинационных разностей определены значения вращательных и центробежных постоянных основного и возбужденных колебательных состояний и значения ряда постоянных колебательно-вращательного взаимодействия. Обнаружено удвоение большинства колебательно-вращательных уровней, обусловленное спин-вращательным взаимодействием. Идентифицировано около 50 дублетов полосы (2, 0, 1) и определены эффективные значения постоянной спин-вращательного взаимодействия для основного состояния и для возбужденного состояния (2, 0, 1). М. Р. Алиев

1968

~~Чертеж~~

~~Чертеж~~

~~Чертеж~~

*No<sub>2</sub>*

*спектр*

7 Д325. Анализ зеемановских спектров высокого разрешения двуокиси азота в близкой ИК-области. O1 man M. D., Hause C. D. Analysis of the high-resolution Zeeman spectra of nitrogen dioxide in the near infrared. «J. Chem. Phys.», 1968, 49, № 10, 4575—4583 (англ.)

1968

С высоким разрешением ( $0,03 \text{ см}^{-1}$ ) экспериментально изучены спектры магн. расщепления вращательно-колебательных полос (1,0,1) и (2,0,1) двуокиси азота ( $\text{N}^{14}\text{O}_2$  и  $\text{N}^{15}\text{O}_2$ ) методами Зеемана и Фарадея. Проведен теоретич. анализ зеемановского расщепления энергетич. уровней молекулы (без учета спина ядра) и вероятностей переходов между подуровнями в продольном магн. поле. На основании полученных выражений качественно интерпретированы спектры магнито-оптич. вращения в области  $2900 \text{ см}^{-1}$ . Расчеты, проведенные на вычислительной машине, позволили получить зеемановские спектры, которые во всем интервале магн. полей (до  $6800 \text{ Гц}$ ) хорошо согласуются с эксперим. результатами. Библ. 12.

В. С. Запасский

*ф. 1969.*

*78*

1968

NO<sub>2</sub>cuecccp

24355r Analysis of the high-resolution Zeeman spectra of nitrogen dioxide in the near infrared. Olman, Melvin D.; Haus, Clarence D. (Michigan State Univ., East Lansing, Mich.). *J. Chem. Phys.* 1968, 49(10), 4575-83 (Eng). High-resoln. ( $\sim 0.03 \text{ cm.}^{-1}$ ) longitudinal Zeeman spectra in absorption and magnetic rotation spectra have been obtained for the (1,0,1) and (2,0,1) vibration-rotation bands of  $^{14}\text{NO}_2$  and  $^{15}\text{NO}_2$ . Equations are derived which predict the Zeeman splittings of the mol. energy levels (neglecting nuclear spin) as a function of field and the rotational transition probabilities for the longitudinal Zeeman spectra. Computer-generated plots of the predicted Zeeman spectra show quant. agreement with the exptl. spectra at all available magnetic fields (up to 6800 gauss). The dependence of the observed magnetic-rotation spectra on the magnetic field strength can be understood qual. from the predicted Zeeman patterns.

RCJQ

C.A. 1969, 40, 6

NU<sub>2</sub> (noa. koef.) 13 1968  
Olman N.B., 6 XII 476  
Dissert. Abschr., 1968, B28(3), 3831-2.  
High resolution absorption Zeeman  
and magnetic rotation spectra of  
hydrogen dioxide in the near infrared  
10 ♂ CAD 1968, 69, 16, 233228

$N_2O_4$ ,  $NO_2$  (aud. noes.) XIII 1226 13 1968

Seshadri D.N., Viswanath D.S., Kulooe P.R.

Indian J. Pechnol., 1968, 6(9), 251-4.

Force constraints for the system di-nitrogen tetroxide  $\rightleftharpoons$  nitrogen dioxide  
in equilibrium ~~and~~ for oxide 5  
and oxygen 10.  $\Phi_{H^+}$  CA [1969, 70, 14, 1496] 6.

NO<sub>2</sub>

Bird G.R., Hunt G.R., Gebbie H.A., Stone N.W.B. 1969

6 neramie, 6 ~~of them~~

Число брачующихся  
спекунд NO<sub>2</sub> в дальней  
UK-области. Радиум  
зеленая - зоротекта.

XII - 5749

1969

№  
2

10 Б195. Интерпретация видимого спектра двуокиси азота. ~~Вигнелл L., Дресслер K. P.~~ Interpretation of the visible spectrum of nitrogen dioxide. «J. Chem. Phys.», 1969, 51, № 6, 2758—2759 (англ.)

В расчете  $\text{NO}_2$  по методу МО—ЛКАО ССП использованы 9s- и 5p-орбитали гауссовского типа на атомах азота и кислорода (72 базисные функции). Однако в этом случае получили осциллирующий процесс самосогласования, и поэтому ограничили базис 4s- и 3p-орбиталами (39 базисных функций). Этот расчет дал энергию основного состояния — 203,8857 а. е., отличающуюся от Хартри — Фоковского предела на 0,343 а. е. Полученные данные позволили получить энергии переходов для 5 низших возбужденных состояний (область спектра 1,20—3,87 эв). С. Зимонт

стар

X. 1970. 10

*1969*  
NO<sub>2</sub>

17 Б174. Колебательное испускание NO<sub>2</sub> в реакции окиси азота с озоном. Clough P. N., Thrush B. A. Vibrational emission by NO<sub>2</sub> in reaction of nitric oxide with ozone. «Trans. Faraday Soc.», 1969, 65, № 1, 23—31 (англ.)

Реакция  $\text{NO} + \text{O}_3 = \text{NO}_2 + \text{O}_2$  приводит к образованию электронно-возбужденных молекул NO<sub>2</sub>. Наблюдаемая колебательно-вращательная структура спектра испускания в области 3,9—3,4  $\mu$  связана с переходами  $\Delta v_3 = -1$ ,  $\Delta v_1 = \Delta v_3 = -1$  и в области 2,6—2,4  $\mu$  — с переходами  $\Delta v_1 = -2$ ,  $\Delta v_3 = -1$ . Изучено влияние т-ры (20—110°) на характер испускания, а также тушение испускания молекулами N<sub>2</sub>, CO<sub>2</sub> и NO<sub>2</sub>. Испускающие колебательные уровни молекул NO<sub>2</sub> в основном состоянии заселяются через посредство электронно-возбужденного состояния, а не прямым путем, как предполагалось; при тушении

*стабилизация  
спектр*

*10.1969. 17*

электронно-возбужденной молекулы  $\text{NO}_2$  ею сохраняется значительная часть начальной энергии, перераспределение к-рой затем приводит к испусканию с колебательных уровней.

Б. В. Рассадин

1969

NO<sub>2</sub>envelope

42461b Vibrational emission by nitrogen dioxide in reactions of nitric oxide with ozone. Clough, P. N.; Thrush, Brian A. (Univ. Cambridge, Cambridge, Engl.). *Trans. Faraday Soc.* 1969, 65(1), 23-31 (Eng). Vibration-rotation emission assocd. with the transisions  $\Delta\nu_2 = -1$ ,  $\Delta\nu_1 = \Delta\nu_2 = -1$  and  $\Delta\nu_1 = -2$ ,  $\Delta\nu_2 = -1$  of NO<sub>2</sub> is observed from the reaction NO + O<sub>3</sub> = NO<sub>2</sub> + O<sub>2</sub>, a reaction which also yields electronically excited NO<sub>2</sub>. The vibrationally excited mols. are produced predominantly by radiation and collisional quenching of electronically excited NO<sub>2</sub> followed by rapid redistribution of vibrational energy rather than by direct population of high vibrational levels of the ground state. RCTD

C.A. 19

69.

70.10

1969

NO<sub>x</sub>

Diesen, R. W.

Wahr, J. C.

Adler, S. Z.

*J. Chem. Phys.*, 50(8),

3635.

photogeochemical  
yuanyue(see Cl<sub>2</sub>)?

NO<sub>2</sub>

Б91 - XII - 274

1969

9 Б1035. Измерение тепловой энергии реакции  
 $\text{NO}_2^+ + \text{NO} \rightarrow \text{NO}^+ + \text{NO}_2$ . Fehsenfeld F. C., Ferguson E. E., Mosesman M. Measurement of the thermal energy reaction  $\text{NO}_2^+ + \text{NO} \rightarrow \text{NO}^+ + \text{NO}_2$ . «Chem. Phys. Letters», 1969, 4, № 2, 73—74 (англ.)

Изучена р-ция  $\text{NO}_2^+ + \text{NO} \rightarrow \text{NO}^+ + \text{NO}_2$ . Найдена константа скорости р-ции при 300°К равная  $2,9 \cdot 10^{-10} \text{ см}^3/\text{моль} \cdot \text{сек}$ . Установлено, что р-ция экзотермична и ионизационный потенциал (ИП)  $\text{NO}_2 > \text{ИП NO}$  и равен  $9,25 \pm 0,2 \text{ эв}$ .

Резюме

X · 1970 · 9

NO<sub>2</sub>

NO

(9)

C. A. 1970

B9-XII-24

1969

(16860c) Measurement of the thermal energy reaction  $\text{NO}_2^+$  + NO  $\rightarrow$  NO<sup>+</sup> + NO<sub>2</sub>. Fehsenfeld, Frederick C.; Ferguson, Eldon E.; Mosesman, Max A. (ESSA Res. Lab., Boulder, Colo.). *Chem. Phys. Lett.* 1969, 4(2), 73-4 (Eng). The reaction  $\text{NO}_2^+ + \text{NO} \rightarrow \text{NO}^+ + \text{NO}_2$  has a rate const. of  $2.9 \times 10^{-10} \text{ cm}^3/\text{mole-sec}$  at 300°K. The reaction is exothermic and the ionization potentials are  $IP(\text{NO}_2) > IP(\text{NO}) = 9.25 \text{ eV}$ . Over 99% of the NO<sub>2</sub><sup>+</sup> is reactive with NO, which eliminates the possibility of the reaction being due to an excited state component of the NO<sub>2</sub><sup>+</sup>. The expt. was performed in a flowing afterglow. DWJN

72.4

N03, N08 (A)

12 XII 215

1969

Schwerfeld F.C.; Ferguson E.E.

Bohme D.K.

Placket Space Sci. 1969, 14 (11), 1359-

Additional flowering afternoon  
because of negative ion  
reactions of  $\text{CO}_2$ -negative ions -  
test.

Ecto.  $\Phi$ . K.

CH, 1970, 42, 12, 6372

№  
2

Медяков В. У.

1969

Ж. сибирь. зоология,  
10(5), 938.

(39)

(л.л. 02) III

$\text{NO}_2$

Pfeiffer M.

1969

J. Molle. Streetrose,

cell. voc.

31, N2, 181

(Cell.  $\text{H}_2\text{O}$ ) III

№<sub>2</sub> Sakurai K., Broida H.P. (1969)

флюоресц.  
при надежном  
возд.

J. Ch. Ph., 1969, 50, 2404



№  
2

Б9-XIII - 1296 1969

9 Б1331. Фотоотщепление электрона от  $\text{NO}_2^-$ . Warneck Peter. Photodetachment of  $\text{NO}_2^-$ . «Chem. Phys. Letters», 1969, 3, № 7, 532—533 (англ.)

Отрицательные ионы  $\text{NO}_2^-$ , полученные в зоне электрич. разряда в смеси воздуха с  $\text{O}_2$ , после ускорения и выделения магнитным анализатором в виде ионного пучка (сила тока  $8 \cdot 10^{-8} \text{ а}$ ) проходили через вакуумную камеру, где облучались монохроматич. светом  $\lambda\lambda 3000$ —5000 А. Образованные при фотоотщеплении (ФО) электроны регистрировали электронным умножителем. Изучали зависимость сечения σ ФО от длины волны света. Пороговая  $\lambda$  ФО найдена равной  $4520 \pm 40 \text{ Å}$  ( $E = 2,74 \pm 0,03 \text{ эв}$ ). При уменьшении  $\lambda$  света σ растет, достигая

Срок сдачи к  
ученой работе

X. 1970

9

плато при  $\lambda$  4050 Å. Дальнейший рост  $\sigma$  начинается при  $\lambda$  3650 Å и при  $\Delta$  3050 Å достигается значение  $\sigma = 1,5 \cdot 10^{-18} \text{ см}^2$ . Пороговое значение  $\lambda$  соответствует нижней оценке вертикального потенциала ФО, т. к. ионы  $\text{NO}_2^-$  обладают колебательным возбуждением с эффективной т-рой 3000° К. Пороговая энергия перехода между основными колебат. состояниями  $\text{NO}_2^-$  и  $\text{NO}_2$  (средство  $\text{NO}_2$  к электрону) найдена равной  $3,10 \pm 0,05$  эв по изложму, соотв. началу 1-го плато. Дальнейший рост  $\sigma$  при уменьшении  $\lambda$  объясняется переходом в состояние  $A(^3B_1)\text{NO}_2$ . Полученная величина средства  $\text{NO}_2$  к электрону лежит в пределах оценок других авторов, 1,6—4,0 эв.

В. Е. Скурат

Б9-XII-1296

1969

№  
2

2 Д234. Фотоотщепление электрона от  $\text{NO}_2^-$ . ~~Wag-~~  
пек Peter. Photodetachment of  $\text{NO}_2^-$ . «Chem. Phys.  
Letters», 1969, 3, № 7, 532—533 (англ.)

Измерены сечения фотоотщепления электрона от иона  $\text{NO}_2^-$  в области длин волн фиолетовой части видимого света (3000—5000 Å). Кратко описаны установка и методика измерений. Пучок ионов, вытягиваемый из разряда, после магн. сепарации пересекался монохроматич. (спектральная полоса 220 Å) пучком света и измерялся ток фотоэлектронов. Относит. сечения фотоотщепления получены путем сравнения с сечениями для  $\text{H}^-$ . Нормировка абс. значений осуществлялась по эксперим. сечениям фотоотщепления электрона от  $\text{O}^-$ . Анализ данных вблизи порога появления электронов дает значение только нижнего предела вертикальной энергии фотоотщеп-

стороб  
к эл-му

69. 1970. 29

ления, оказавшееся равным  $2,74 \pm 0,03$  эв. Это обусловлено колебательным возбуждением ионов. Для отождествления фотоотщепления из основного состояния использовался метод Ватанабе. Построенная зависимость логарифма сечения от энергии фотонов в точке  $3,10 \pm 0,05$  эв терпит излом, и согласно интерпретации Ватанабе эта точка соответствует фотоотщеплению с переходом между основными состояниями  $\text{NO}_2^-$  и  $\text{NO}_2$ . Т. к. в области больших энергий за этой точкой наблюдается плато, то, по-видимому, переход происходит с  $\Delta v = 0$ , и межъядерные расстояния иона и молекулы мало различаются. Значение энергии  $3,10 \pm 0,05$  мв можно считать величиной сродства  $\text{NO}_2$  к электрону.

Ю. Н. Беляев

Okeacell azoma (Onychoceraspa,)  
(non-nom.) 1<sup>st</sup> 1969

Wagnière G.H.,

XIII 1292

Chem. Nitro Nitroso Groups, New York,  
1969, 1-44 (annual)

Theoretical aspects of the carbon  
- nitrogen oxide and carbon-  
nitrogen dioxide bonds.

FO   
GARDEN CITY LIBRARY

11490822  
CP, 1970, 22, N22, 814963,